

高速秘密鍵暗号方式のLAN 適用に関する考察

清水明宏

NTT通信網総合研究所

本論文では、秘密鍵暗号方式の高速マルチメディアLAN環境への適用について論じる。まず、メディア種別、レイヤを考慮した適用法について、OSIの動向を踏まえて考察し、レイヤ2の機密保護サービスとして、高速暗号LSIによりMAC副層でマルチメディア情報を共通に暗号化する方式を示す。さらに、秘密鍵暗号方式をモデル化し、高精細動画にも適用できる高速秘密鍵暗号方式実現の要素技術となるf関数の高速化について論じる。f関数は秘密鍵暗号方式においてデータ拡散の中核処理となるものである。新しいf関数の性能は、ハードウェア化した際の速度性能ならびにデータ乱数化能力のふたつの観点から評価した。

F-functions Suitable for Hardware implementation

Akihiro Shimizu

NTT Telecommunication Networks Laboratories,
1-2356, Take, Yokosuka-shi, Kanagawa-ken, 238-03 Japan.

This paper first considers the secret-key cryptomethod application in high-speed and multi-media LAN. In the consideration, common application of secret-key cryptomethod in MAC sublayer is proposed, which achieves the multi-media data confidentiality on the second layer in OSI reference model.

Secondly, a model of secret-key cryptography is proposed. Then, three types of f-function are designed to achieve hi-speed data confidentiality service for multimedia including high division image data. The hardware speed performance and data randomization ability are evaluated for each f-function.

1. はじめに

情報ネットワーク構築手段であるLANは、データメディアのみを扱うものを中心に普及期にあり、次世代LAN開発の焦点は、高速・大容量化、マルチメディア化へと移行しつつある。

LANセキュリティ固有の問題として、次のものがあげられる。

①職位や利害関係の異なるグループの同一LAN内での共存。

②LAN内での権限と実際のオフィスの職位との差。

②はすなわち、スーパーユーザの存在である。LANシステム内でオールマイティな権限を持つ彼らは、システム内のあらゆる情報を手にいれることができる。担当技術者である彼らが、経営、人事などに関わる機密情報にアクセスすることができる。オフィスにLANシステムを導入する場合、この問題の解決が重要である。

さらに、今後、LANと公衆網との接続がますます盛んになってくる状況では、かなりの部分一般のネットワークセキュリティ技術を適用することができる。公衆網との違いとして、

③高速マルチメディア環境

について考えることが重要である。

最大のポイントは伝送速度である。いままでのネットワークセキュリティでは論じられなかった数百Mbpsに達する暗号化速度を実現できる暗号方式が必要となってくる。このような高速化に対応するには、公開鍵暗号方式より秘密鍵暗号方式の方が現実的である。

本論文では、高速秘密鍵暗号方式に関して議論する。まず、OSIでのセキュリティアーキテクチャを参考に、メディアとレイヤを考慮した秘密鍵暗号方式の適用形態について述べる。続いて、秘密鍵暗号アルゴリズムをモデル化する。さらに、秘密鍵暗号方式を高速化するためのひとつの手段として、データ乱数化の中核処理として用いられるf関数の構造の高速化について論じる。f関数の性能は、ハードウェア化した際の速度性能ならびにデータ乱数化能力の二つの観点から評価した。

2. OSIのセキュリティアーキテクチャ

OSIにおけるセキュリティアーキテクチャ[1]から、特に、秘密鍵暗号方式を用いて実現できるセキュリティサービスとレイヤの関係を示す。

表1に網掛けで示したセキュリティサービスは秘密鍵暗号方式を用いて実現できる。セキュリティサービスのうち、送受信者の認証を行ったり送受信の事実の否認を防止したりするサービス、および、アクセス制御サービスを除くものを、秘密鍵暗号方式により実現できることがわかる。信頼性の問題もあるが、低レイヤにおいて高

速性が必要な場合、相互エンティティ認証 (Peer Entity Authentication)、機密保護 (Confidentiality)、完全性 (Integrity) の各サービスについては、公開鍵暗号方式よりも秘密鍵暗号方式の方が適していると考えている。

上記セキュリティサービスを含めて、LANのセキュリティを保証するための要素技術として、

- ①パスワード管理方式
- ②アクセス制御方式
- ③秘密鍵暗号方式
- ④鍵管理・配送方式
- ⑤公開鍵暗号方式

の五つを考えている。これらの技術により、OSIでいうセキュリティメカニズムが構成され、さらに、そのメカニズムによりセキュリティサービスが構築される。

上記の観点から、以下では③の秘密鍵暗号方式について、高速マルチメディアLAN環境への適用方式ならびに高速化のための設計法について議論を進める。

表1 OSIセキュリティサービスとレイヤの関係

セキュリティサービス	レイヤ						
	1	2	3	4	5	6	7
相互エンティティ認証	・	・	Y	Y	・	・	Y
データ発信元認証	・	・	Y	Y	・	・	Y
アクセス制御	・	・	Y	Y	・	・	Y
コネクションデータ機密保護	Y	Y	Y	Y	・	・	Y
コネクションレスデータ機密保護	・	・	Y	Y	・	・	Y
選択フィールドデータ機密保護	・	・	・	・	・	・	Y
トラフィックフローデータ機密保護	Y	・	Y	・	・	・	Y
コネクションデータ完全性保証 リカバリ有	・	・	・	Y	・	・	Y
コネクションデータ完全性保証 リカバリ無	・	・	・	Y	Y	・	Y
選択フィールド コネクションデータ完全性保証	・	・	・	・	・	・	Y
コネクションレスデータ完全性保証	・	・	・	Y	Y	・	Y
選択フィールド コネクションレスデータ完全性保証	・	・	・	・	・	・	Y
発信否認不可保証	・	・	・	・	・	・	Y
受信否認不可保証	・	・	・	・	・	・	Y

Y:対象レイヤにおいてオプションとして提供される。

・:提供されない。

レイヤ7については、アプリケーションによって提供される場合もある。

3. 高速マルチメディアLAN環境への適用

3. 1 高速マルチメディアLAN環境の特徴

高速マルチメディアLAN環境では、データ、音声、静止画、動画などのメディアが複合した状態で種々の通信形態が共存する。各メディアの伝送速度の概値を表2に示す。各メディアへの要求条件は、情報の精度と遅延時間の二つの観点から規定できる。各メディアについて、これを評価して表3に示す。

表2 メディアと伝送速度

メディア	伝送速度
データ	～ 10Mbps
音声	～ 1Mbps
静止画	～ 数10Mbps
動画	数10Mbps～数100Mbps

表3 メディアへの要求条件

メディア	情報の精度	遅延時間小
データ	○	×
音声	×	△
静止画	×	×
動画	×	○

○, △, ×はこの順に要求の強さを示す。

表3に示す通り、音声、動画については、情報の正確さよりも遅延時間の縮小が要求される。また、データに対しては、遅延の問題よりも情報の精度が要求される。したがって、音声、動画については、プロトコルを簡略化するなどして高速性を確保する（データ圧縮技術によるところもある）ことが必要である。ただし、音声については、表2に示す通り伝送速度がそれほど大きくないため、高速マルチメディアLAN環境での遅延時間の影響は、動画に比べて小さいと考えられる。

LANトポロジーとしては、高速性や効率を考慮してループ型が採用される場合が多い。また、通信方式としては、回線交換方式およびパケット交換方式が考えられる。回線交換方式は、物理回線を占有して使用するため実時間特性には優れているが、送出停止期間のあるような情報を送る場合には効率が低下する。一方、パケット交換方式では、マルチメディアを統一的に扱うことができる反面、遅延や消失のために実時間通信を保証できない場合がある。このように、両通信方式とも長短所がある。そこで、両者の長所を活かした方式として、動画には回線交換方式、その他のメディアにはパケット交換方式を用いる混合方式が提案されている[2]。さらに、マルチメディアに対して、スロット多重による高速パケット交換方式を用いるOrwell Ring[3]などが研究されている。

3.2 マルチメディア統合型秘密鍵暗号適用方式

図1に、LAN環境でマルチメディアを扱うノードのモデルを示す。図1において、PHYはOSI参照モデルという物理層、MAC(Media Access Control)は、媒体アクセス制御副層を示している。

マルチメディア統合型のセキュリティサービスを実現するためには、低レイヤにおいて動画も含めた情報の暗号化を行う必要がある。この基本構成要素として、高速な暗号LSIが必要になる。動画の品質や符号化方法によっても異なるが、数十Mbpsから数百Mbpsの暗号化処理速度性能を有するLSIが必要となる。

LANの方式によっても異なるが、LLC(Logical Link Control)副層以上のレイヤはメディアによって異なる場合が多い。そこで、各メディア共通に暗号機能を適用する方法として、MAC副層での適用を考えている。

表1に示したOSIのセキュリティサービスと対応させてみると、MAC副層での秘密鍵暗号アルゴリズム適用は、レイヤ2における機密保護サービスにあたる。

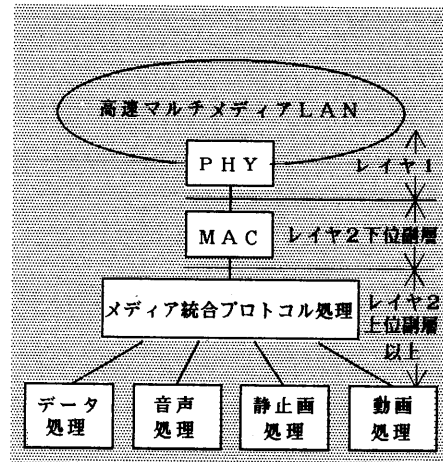


図1 マルチメディアノードのモデル

4. 秘密鍵暗号方式の高速化について

高速な暗号LSIを開発するためには、

①高度なLSI技術を用いる。

②暗号アルゴリズムを高速化する。

の二つが考えられる。①については、動作クロックの高速化、素子の高速化などが考えられる。一方、②については、

③一度に暗号化するデータ長を増加する。

④処理段数を減らす。

⑤データ乱数化の中核処理である f 関数を高速化する。などが考えられる。

③のデータ長については、64ビットを1ブロックとして、ブロック単位に処理する方式DES [4]が知られている。このタイプの暗号方式において、ブロック長をあまり大きくすると、効率のいいデータ融合処理の実現、あるいは、データ長の変化への小刻みな対応などに問題が生じてくる。64ビットの倍の128ビットが、ブロック長として限界ではないかと考えている。

④の処理段数について述べる。DESは16段の処理を採用している。DESタイプの構造を踏襲するならば、4段処理で簡単には破れない暗号を作ることができると考えられるが、安全性に余裕をもった設計とするために8段処理としたい。

以上述べた二つのポイントに比べて、⑤にあげた f 関数の高速化は重要である。後に示すが、 f 関数は各処理段数毎に用いられるため、これを2倍高速にすれば、それがそのままアルゴリズムの全体性能を2倍に向上させることになる。

以下では、8段処理の64ビットブロック暗号アルゴリズムをモデル化して示す。さらに、ソフトウェアで高速に処理できる f 関数TYPE-1、ハードウェアに適した f 関数TYPE-2、TYPE-3の構造および性能について順に示す。

5. 記法

本論文において用いる記法について、以下にまとめて示す。

- (1) A など、英大文字は、複数バイトからなるブロックデータを表す。
- (2) A_i など、右下の添字 i は、処理手順に対応したブロックデータを表す。
- (3) A^i など、右上の添字 i は、そのブロックデータ内の i 番目 ($i = 0, 1, \dots$) の1バイトを表す。
- (4) (A, B, \dots) は、この順序でのデータの連結を表す。
- (5) \oplus はビット対応の排他的論理和を表す。
- (6) 等号は右辺から左辺への代入を表す。

6. 暗号強度評価指標

f 関数の設計にあたり、データランダム化性能の測定に用いた暗号強度評価指標 [5] についてその概要を説明する。

この指標は、平文、鍵それぞれの入力変化に対する暗号文の変化分布が二項分布 $B(n, 1/2)$ (n : 暗号文のビット長) に近似する度合を示しており、 M 、 $M\sigma$ の2

種類存在する。

M は、平文あるいは鍵を $1 \sim n$ ビット変化させたときの暗号文の変化分布の、 $B(n, 1/2)$ への近似率の平均を示しており、 $M\sigma$ はその標準偏差を示している。 M が100%、 $M\sigma$ が0に近いほど、暗号文中に、入力平文あるいは秘密鍵を逆算する手がかりをのこしていないアルゴリズムであるといえることができる。 M および $M\sigma$ は、平文変化と鍵変化に対して区別するため、平文変化に対して M_p 、 $M_p\sigma$ 、また鍵変化に対して M_k 、 $M_k\sigma$ と定義している。

指標算出のためには、大量の平文および鍵データを用いることが必要であるが、一般的に、実験的に取り扱うことのできるデータの数は、母集団全体に比較して希少である。そこで、統計的計算により、データ数に応じた指標の理論値を算出する。例えば、平文16個、鍵16個、平文あるいは鍵の変化データ16個を組み合わせた計4096個のデータに対する理論値は、 $M = 96.5\%$ 、 $M\sigma = 2.6\%$ と求められる。指標の測定値がこの理論値に近いほど、そのアルゴリズムはデータランダム化の性能が優れているといえる。

7. 秘密鍵暗号アルゴリズムのモデル化

図2に秘密鍵暗号アルゴリズムをモデル化して示す。このモデルは、64ビットの秘密鍵から拡大鍵を生成する鍵スケジュール部と、その拡大鍵を用いて64ビットの平文から64ビットの暗号文を生成するデータ処理部からなる秘密鍵ブロック暗号アルゴリズムである。DES [4]、FEAL [7] がほぼこのタイプの暗号としてあげられる。

一般に、鍵スケジュール部は通信のはじめに一度実行しておけば良いので高速性は要求されない。データ処理部の高速化が重要である。

図2に示すように、このモデルは、拡大鍵 K_r を用いて初期処理 IP を64ビットの平文データ P に施したのち、図3 (a)、(b) に示すインボリューション [6] の組み合わせ処理を8段行い、最後に拡大鍵 K_r を用いて最終処理 FP を施し、64ビットの暗号文 C を生成する。8段の各処理においては、拡大鍵をパラメータとして用いている。 f は32ビットのデータ拡散処理関数を示している。

インボリューションとは、簡単にいえば二度続けて適用すると何も適用しないことに等しいという性質を有する関数のことである。したがって、図2に示したアルゴリズムが、鍵スケジュールを除く同一プログラムで暗号化/復号の両処理を実現するためには、 IP と FP を同一のインボリューション処理あるいは上下対称のインボリューション組み合わせ処理とする必要がある。

暗号化の手順について説明する。復号の手順は拡大鍵の使用順序を除いて暗号化手順と同じである。

まず、入力された64ビットの平文Pに初期処理IPが施される。

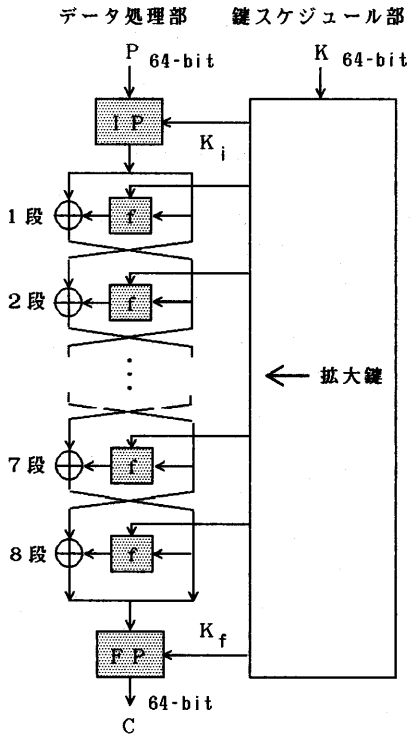


図2 秘密鍵暗号アルゴリズムのモデル

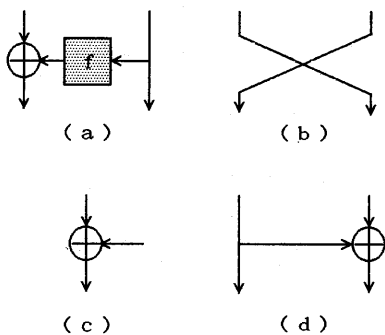


図3 インボリュージョン

次に、 $r = 1 \sim 8$ について、 L_r と R_r を以下の手順により逐次計算する。

$$R_r = L_{r-1} \oplus f(R_{r-1}, K_{r-1})$$

$$L_r = R_{r-1}$$

最後に、最終処理FPを施して暗号文C (R_8, L_8)を得る。

IPの例としては、Pを32ビットずつの左右のデータ L_0, R_0 に分け、以下の処理を施すものが考えられる。ここで、 K_1 は64ビットの拡大鍵である。

$$(L_0, R_0) = (L_0, R_0) \oplus K_1$$

$$R_0 = R_0 \oplus L_0$$

FPの例としては、先に示したIPと対称な例として、 R_8, L_8 に対して次の処理を施す。 K_r は64ビットの拡大鍵である。

$$L_8 = L_8 \oplus R_8$$

$$(R_8, L_8) = (R_8, L_8) \oplus K_r$$

IP、FPは図3(c)、(d)のインボリュージョンの組み合わせとして構成している。

8. 高速f関数の設計

8.1 TYPE-1

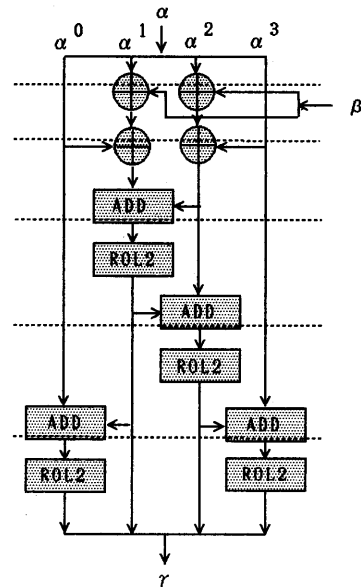


図4 TYPE-1の構造

図4に示すTYPE-1のf関数は、ソフトウェアで高速に処理できる構造である。あみだ状の構造により、

入力のビット変化を効率よく出力のビットに影響させることができる。

図4において、 α は32ビットの入力データ、 β は16ビットの拡大鍵、 γ は32ビットの出力データ、ADDは加算（最上位ビットからの桁上りは無視）、ROL2は左方向への2ビット回転処理である。

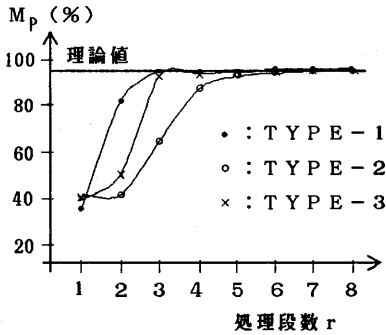


図5 処理段数と M_p の関係

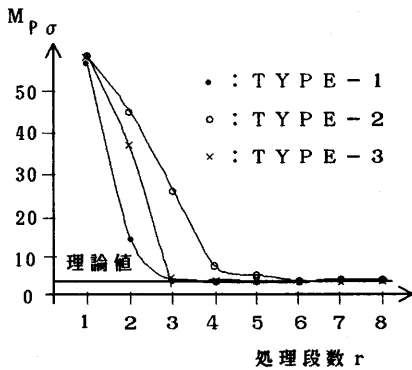


図6 処理段数と $M_p \sigma$ 関係

TYPE-1のf関数について動作を説明する。まず、入力された32ビットのデータ α は $\alpha^0 \sim \alpha^3$ の各8ビットの4データに分けられる。f関数の出力 γ は、以下の手順で得られる。

$$\begin{aligned} \gamma^1 &= \alpha^1 \oplus \beta^0 \oplus \alpha^0 \\ \gamma^2 &= \alpha^2 \oplus \beta^1 \oplus \alpha^3 \\ \gamma^1 &= \text{ROL2}(\gamma^1 + \gamma^2) \\ \gamma^2 &= \text{ROL2}(\gamma^2 + \gamma^1) \\ \gamma^0 &= \text{ROL2}(\alpha^0 + \gamma^1) \\ \gamma^3 &= \text{ROL2}(\alpha^3 + \gamma^2) \end{aligned}$$

TYPE-1のf関数は、二つの1バイトデータを加算して1バイトデータを作成し、さらにそれを左方向に

2ビット回転させる処理と、それらを互いに融合させるあみだ構造により、優れたデータ乱数化性能と速度性能を実現できる[7]。

TYPE-1のf関数を前章に示した秘密鍵暗号アルゴリズムに適用した場合について、先に述べた暗号強度評価指標のうち、平文変化指標の測定結果を図5、図6に示す。図5には、処理段数 r に対する M_p の値および指標の理論値を示す。また、図6には、処理段数 r に対する $M_p \sigma$ の値および指標の理論値を示す。

図5、図6に示した測定結果からわかるように、データ処理部の3段目の処理を終えた段階で、データはほぼ完全に乱数化されている。

次に、このf関数のソフトウェアでの性能について考えてみる。図4から、1バイトデータの排他的論理和4回、1バイトデータの加算4回、1バイトデータの1ビット回転処理8回で実現できることがわかる。

さらに、LSIなどのハードウェアで実現した場合を考える。このf関数は、データの拡散効率を向上させるため、4分割したデータのうちの1つのデータの拡散処理の処理結果を新しく他のデータの拡散処理に用いている。このため、並列処理が可能な箇所が限られ、これがハードウェアでの処理速度の向上を妨げている。図4に点線で示すように、このf関数をハードウェアで構成した場合、2段の排他的論理和処理と、3段の加算とビット回転処理が必要となる。

8.2 TYPE-2

図7に示すTYPE-2のf関数は、TYPE-1のf関数に比べて、データの乱数化処理を並列化できるように構造を工夫したものである。

図7において、 α は32ビットの入力データ、 γ は32ビットの出力データ、 $\alpha^0 \sim \alpha^3$ は α を4分割した各8ビットのデータ、 β は16ビットの拡大鍵、ADDは加算（最上位ビットからの桁上りは無視）、ROLは左方向への1ビット回転処理、RORは右方向への1ビット回転処理を示している。

TYPE-2のf関数の動作について説明する。まず、入力された32ビットのデータは $\alpha^0 \sim \alpha^3$ の各8ビットの4データに分けられる。出力 γ は、以下の手順で得られる。

$$\begin{aligned} \gamma^0 &= \alpha^0 \oplus \beta^0 \\ \gamma^3 &= \alpha^3 \oplus \beta^1 \\ \alpha^1 &= \alpha^1 \oplus \gamma^0 \\ \alpha^2 &= \alpha^2 \oplus \gamma^3 \\ \gamma^0 &= \text{ROL}(\gamma^0) + \text{ROR}(\alpha^2) \\ \gamma^1 &= \text{ROL}(\gamma^1) + \text{ROR}(\alpha^2) \\ \gamma^2 &= \text{ROL}(\gamma^2) + \text{ROR}(\alpha^1) \end{aligned}$$

$$\gamma^3 = \text{ROL}(\gamma^3) + \text{ROR}(\alpha^1)$$

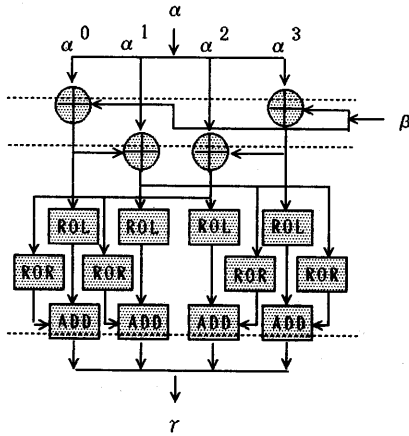


図7 TYPE-2の構造

TYPE-2のf関数について性能を示す。まず、ソフトウェアで実現した場合、1バイトデータの排他的論理和4回、1バイトデータの加算4回、1バイトデータの1ビット回転8回の処理で実現できる。これは、TYPE-1のf関数と同じである。従って、TYPE-2のf関数のソフトウェアでの実行速度は、TYPE-1のf関数とほぼ同一であると考えられる。

このf関数をハードウェアで実現した場合、図7中に点線で示した処理を並列化することができる。従って、2段の排他的論理和処理と、1段の加算/ビット回転処理の構成となる。加算処理は排他的論理和のほぼ3倍の処理時間がかかるものと考えられる。したがって、2段の排他的論理和処理と3段の加算/ビット回転処理で構成されているTYPE-1のf関数と比較して、2倍を超える速度性能を実現できる。

TYPE-2のf関数を秘密鍵暗号アルゴリズムに適用した場合についても、先に述べた暗号強度評価指標のうち、平文変化指標の測定結果について図5、図6に示している。

測定結果から、データ処理部の6段目の処理を終えた段階で、データが完全に乱数化される。これは、3段処理で飽和したTYPE-1のf関数に比較して劣るが、8段処理のアルゴリズムを用いる場合には、暗号強度の観点から同一効果である。

8.3 TYPE-3

図8に示すTYPE-3のf関数は、TYPE-2のf関数と同様に、データの乱数化処理を並列化できるように構造を工夫したものである。さらに、データに応じ

てビットの回転数をかえるようにしており、安全性、データ乱数化効率ともに向上している。

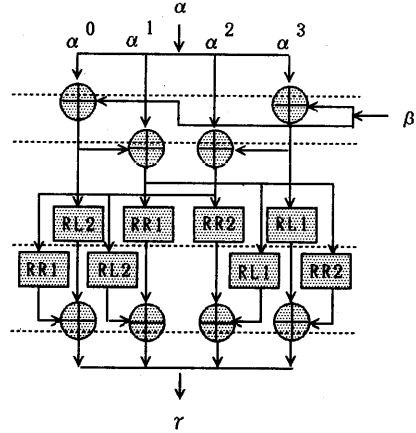


図8 TYPE-3の構造

図8において、 α は32ビットの入力データ、 γ は32ビットの出力データ、 $\alpha^0 \sim \alpha^3$ は α を4分割した各8ビットのデータ、 β は16ビットの拡大鍵、RL1、RL2は左方向へのビット回転処理、RR1、RR2は右方向へのビット回転処理を示している。

図9にRL1の構造を示す。RL1は、1バイトの入力データの低位2ビットの表す0~3の値のビット数だけそのデータを左方向へ回転する処理を行う。図10にRL2の構造を示す。RL2は、1バイトの入力データの低位から4ビット目と3ビット目の2ビットの表す0~3の値のビット数だけ、そのデータを左方向へ回転する処理を行う。RR1、RR2については、それぞれRL1とRL2のビット回転方向を右にした処理を行う。

TYPE-3のf関数の動作について説明する。まず、入力された32ビットのデータは $\alpha^0 \sim \alpha^3$ の各8ビットの4データに分けられる。出力 γ は、以下の手順で得られる。

$$\begin{aligned} \gamma^0 &= \alpha^0 \oplus \beta^0 \\ \gamma^3 &= \alpha^3 \oplus \beta^1 \\ \alpha^1 &= \alpha^1 \oplus \gamma^0 \\ \alpha^2 &= \alpha^2 \oplus \gamma^3 \\ \gamma^0 &= \text{RL2}(\gamma^0) \oplus \text{RR1}(\alpha^2) \\ \gamma^1 &= \text{RR1}(\gamma^1) \oplus \text{RL2}(\alpha^2) \\ \gamma^2 &= \text{RR2}(\gamma^2) \oplus \text{RL1}(\alpha^1) \\ \gamma^3 &= \text{RL1}(\gamma^3) \oplus \text{RR2}(\alpha^1) \end{aligned}$$

TYPE-3のf関数について性能を示す。まず、ソフトウェアで実現した場合はデータによっても異なるが、TYPE-1、TYPE-2より10%~20%ほど処

理速度が低下する見通しである。

このf関数をハードウェアで実現した場合、図8中に点線で示した処理を並列化することができる。従って、3段の排他的論理和処理と、1段のビット回転数算出処理の構成となる。ビット回転数の算出処理は、排他的論理和とほぼ同じかそれ以下の処理時間で実現できるため、TYPE-2より、さらに早い構造であるといえる。

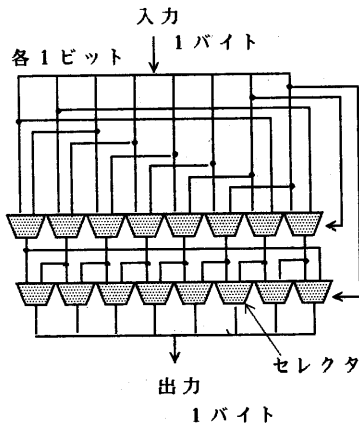


図9 RL1の構造

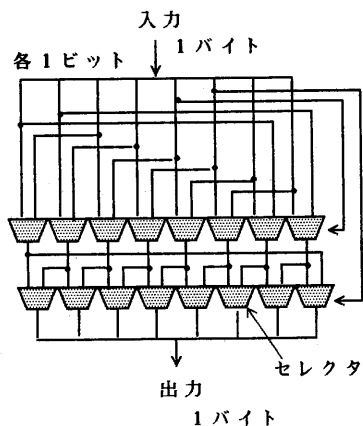


図10 RL2の構造

TYPE-3のf関数を秘密鍵暗号アルゴリズムに適用した場合についても、暗号強度評価指標のうち、平文変化指標の測定結果について図5、図6に示している。

測定結果からわかるように、データ処理部の3段目の処理を終えた段階で、データはほぼ完全に乱数化されている。これは、TYPE-1のf関数の性能とほぼ同等である。

さらに、データによってビット回転数をかえる処理を導入したことで暗号強度を向上させている。したがって、

データ処理部4段の暗号アルゴリズムを実現できる可能性がある。

9. おわりに

本論文では、高速マルチメディアLAN環境への秘密鍵暗号方式の適用について論じた。

動画を含むマルチメディアに対して、OSIセキュリティアーキテクチャにおけるレイヤ2の機密保護サービスを実現するために、高速暗号LSIによりMAC副層で共通に暗号化する方式を示した。さらに、高速暗号LSIを実現するための要素技術として、データ乱数化処理部であるf関数の構造に着目して3タイプの構造ならびに性能を示した。性能については、ハードウェアとしての速度性能、データ乱数化性能に2点について考察した。

本論文で示したf関数により、数十Mbps~数百Mbpsの秘密鍵暗号LSIを実現できると考えている。

今後の課題として、暗号アルゴリズム全体の具現化と安全性の検証、さらに、LSI技術と性能の詳細な検討などがあげられる。

謝辞

本報告をまとめるにあたりご指導いただいた、NTT通信網総合研究所個別通信網研究部柏村卓男部長、木下研作主幹研究員、また、ハードウェアの性能についてコメントいただいたLSI研究所カスタム化技術研究部平田道広研究主任に感謝いたします。

文献

- [1] ISO/DIS 7498-2
- [2] H. Goto, F. Akashi, B. Hirotsaki, H. Shimizu: "A 1.2Gbps Optical Loop LAN for Wideband Office Communications", GLOBECOM'85, 462.
- [3] R. M. Falconer, J. L. Adams: "Orwell: a protocol for an integrated services local network", Br Telecomm Technol J, Vol 3 No 4, (1985).
- [4] NBS: "Data Encryption Standard", FIPS-PUB-46, (1977).
- [5] 宮口, 平野: "暗号/認証アルゴリズム強度評価指標", 信学論(A), J69-A, 10, pp.1252-1259, (1986).
- [6] A. G. Kohnheim, Cryptography: "A primer, clause 6.6 INVOLUTIONS, pp 236-240", A Wiley Interscience Publication, John Wiley & Sons, New York (1986).
- [7] 清水, 宮口: "高速データ暗号アルゴリズムFEAL", 信学論(D), J70-D, 7, pp.1413-1423, (1987).